

CF04

Mécanique des fluides numérique et couplages multiphysiques

Emmanuel LEFRANÇOIS

Equipe Numérique

Mots-clés :

Mécanique des fluides, méthodes numériques, couplages multiphysiques

Laboratoire Roberval, UMR 7337 UTC-CNRS

<http://roberval.utc.fr>



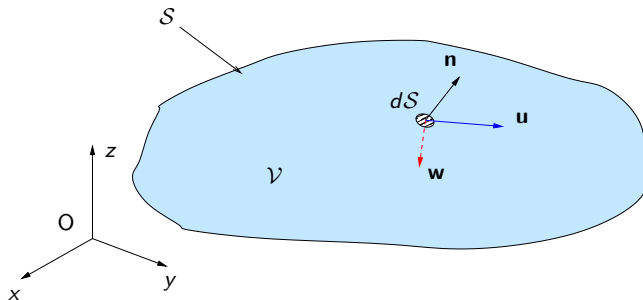
Deuxième partie

Introduction aux techniques CFD (1/3)

Section. 1

Rappel des principaux modèles mathématiques

1.1. La notion FONDAMENTALE de bilan 1/2



$$\underbrace{\frac{\partial}{\partial t} \iiint_{\mathcal{V}(t)} \phi(\mathbf{x}, t) d\mathcal{V}}_{\text{Taux d'accumulation}} + \underbrace{\oint_{S(t)} \phi(\mathbf{u} - \mathbf{w}) \cdot \mathbf{n} dS}_{\text{Echange surfacique}} + \underbrace{\oint_{S(t)} \mathbf{q} \cdot \mathbf{n} dS + \iiint_{\mathcal{V}(t)} \hat{f}_v d\mathcal{V}}_{\text{Production}} = 0$$

1.2. La notion FONDAMENTALE de bilan 2/2

Forme GLOBALE \rightarrow forme locale (~~intégrales~~).

1. Théorème du gradient/divergence :

$$\phi \text{ scalaire} : \iiint_{\mathcal{V}} \nabla \phi \, d\mathcal{V} = \oint_S \phi \mathbf{n} dS, \quad [\text{théorème du gradient}]$$

$$\phi \text{ vecteur} : \iiint_{\mathcal{V}} \nabla \cdot \phi \, d\mathcal{V} = \oint_S \phi \cdot \mathbf{n} dS, \quad [\text{théorème de la divergence}]$$

2. Elimination des intégrales TOUTES triples :

$$\frac{\partial \phi}{\partial t} + \underbrace{\nabla \cdot (\phi(\mathbf{u} - \mathbf{w}))}_{\text{transport}} - \underbrace{\nabla \cdot (\mu \nabla \phi)}_{\text{diffusion}} = S_\phi \quad \forall (x, y, z) \in \mathcal{V},$$

TRANSPORT et **DIFFUSION** = deux ingrédients fondamentaux de la MDF.

1.3. Equation de continuité dite de conservation de la masse

Conservation des débits massiques :

$$\oiint_S \rho \mathbf{V} \cdot \mathbf{n} dS = 0$$

\mathbf{n} : normale orientée vers l'extérieur.

Théorème de la divergence :

$$\oiint_S \mathbf{F} \cdot \mathbf{n} dS = \iiint_{\mathcal{V}} \nabla \cdot \mathbf{F} d\mathcal{V},$$

→ forme générale (compressible) :

$$\frac{\partial}{\partial t} \rho + \nabla \cdot (\rho \mathbf{V}) = 0 \quad \forall (x, y, z) \in \mathcal{V}.$$

- ▶ ρ : masse volumique [kg/m^3]
- ▶ \mathbf{V} : vecteur vitesse locale [m/s]

Présence effective du terme de **TRANSPORT** de masse.

1.4. Principe Fondamental de la Dynamique 1/2

Conservation de la quantité de mouvement = Principe Fondamental de la Dynamique (PFD).

$$\rho d\mathcal{V} \frac{d\mathbf{V}}{dt} = \sum \mathcal{F}_{\text{ext}} \quad \forall d\mathcal{V}$$

Ingrédients :

dérivée matérielle $\frac{d}{dt}$ + bilan des efforts extérieurs \rightarrow équations générales de Navier-Stokes

$$\frac{\partial \rho \mathbf{V}}{\partial t} + \nabla \cdot (\rho \mathbf{V} \otimes \mathbf{V}) = -\nabla p + \nabla \cdot \bar{\tau} + \rho \mathbf{f}_v \quad \forall (x, y, z) \in \mathcal{V}.$$

- ▶ p : pression statique [$Pa = N/m^2$]
- ▶ $\bar{\tau}$: tenseur des contraintes visqueuses [N/m^2]
- ▶ \mathbf{f}_v : force volumique [$N/kg = m/s^2$]

1.5. Principe Fondamental de la Dynamique 2/2

Pour un cas incompressible, elles s'expriment selon les trois composantes d'un repère cartésien :

$$\text{Selon } x : \rho \left(\frac{\partial u}{\partial t} + u \frac{\partial u}{\partial x} + v \frac{\partial u}{\partial y} + w \frac{\partial u}{\partial z} \right) = -\frac{\partial p}{\partial x} + \mu \left(\frac{\partial^2 u}{\partial x^2} + \frac{\partial^2 u}{\partial y^2} + \frac{\partial^2 u}{\partial z^2} \right) + \rho f_x$$

$$\text{Selon } y : \rho \left(\frac{\partial v}{\partial t} + u \frac{\partial v}{\partial x} + v \frac{\partial v}{\partial y} + w \frac{\partial v}{\partial z} \right) = -\frac{\partial p}{\partial y} + \mu \left(\frac{\partial^2 v}{\partial x^2} + \frac{\partial^2 v}{\partial y^2} + \frac{\partial^2 v}{\partial z^2} \right) + \rho f_y$$

$$\text{Selon } z : \rho \left(\frac{\partial w}{\partial t} + u \frac{\partial w}{\partial x} + v \frac{\partial w}{\partial y} + w \frac{\partial w}{\partial z} \right) = -\frac{\partial p}{\partial z} + \mu \left(\frac{\partial^2 w}{\partial x^2} + \frac{\partial^2 w}{\partial y^2} + \frac{\partial^2 w}{\partial z^2} \right) + \rho f_z$$

- ▶ μ : viscosité dynamique $[Pa \cdot s]$
- ▶ $\nu = \mu/\rho$: viscosité cinématique $[m^2/s]$

1.6. Premier principe de la thermodynamique

Pourquoi ?

Effets de compressibilité et/ou les échanges de chaleur avec le milieu environnant.

$$\Delta E_{tot} = \mathcal{W}(\mathbf{F}) + \delta Q_{ext} + \text{Production de chaleur}$$

Forme intégrale (en puissance) :

$$\iiint_{\mathcal{V}} \rho \frac{dE}{dt} d\mathcal{V} = \iiint_{\mathcal{V}} \rho \mathbf{F} \cdot \mathbf{V} d\mathcal{V} + \iint_S (\bar{\sigma} \cdot \mathbf{n}) \cdot \mathbf{V} dS - \iint_S \mathbf{q} \cdot \mathbf{n} dS$$

→ forme locale :

$$\frac{\partial(\rho E)}{\partial t} + \nabla \cdot (\rho E \mathbf{V}) = \nabla \cdot ((-\rho \mathbf{I} + \tau) \cdot \mathbf{V}) + \rho \mathbf{f}_v \cdot \mathbf{V} + \nabla \cdot \mathbf{q}$$

- ▶ $e = C_v T$: énergie interne. $E = e + \frac{V^2}{2}$
- ▶ $\mathbf{q} = -\kappa \nabla T$ (loi de Fourier)
- ▶ T : température
- ▶ κ : conductivité thermique

1.7. Complétés d'une loi d'état si effets de compressibilité

Pourquoi ?

Nécessité de garantir autant d'équations que d'inconnues :

$$p = \rho r T = (\gamma - 1) \left(E - \frac{1}{2} V^2 \right).$$

- ▶ $r = 287 \text{ J.kg}^{-1}.\text{K}^{-1}$: constante des gaz parfaits,
- ▶ $\gamma = \frac{C_p}{C_v}$: rapport des chaleurs spécifiques (1.4 pour de l'air).

$$\begin{pmatrix} \rho \\ u, v, w \\ p \\ T \end{pmatrix} \longleftrightarrow \begin{cases} \text{Continuité} \\ \text{PFD (Momentum)} \times 3 \\ \text{1er principe thermo} \\ \text{Loi d'état des gaz parfaits} \end{cases}$$

1.8. Conditions aux limites (CL) et conditions initiales (CI) adaptées. . .

Connaissance du nombre adéquats de conditions aux limites sur TOUT le pourtour de \mathcal{S} :

- ▶ des entrées/sorties de fluide,
- ▶ des parois imperméables fixes ou mobiles, adhérentes ou non,
- ▶ des symétries,
- ▶ des conditions reportées à l'infini...

Approche instationnaire ? \rightarrow condition initiale sur TOUT le domaine \mathcal{V} à $t = 0$ s :

$$u(\mathbf{x}, t = 0), \quad v(\mathbf{x}, t = 0), \quad w(\mathbf{x}, t = 0) \quad \forall \mathbf{x} \in \mathcal{V}.$$

$$\rho(\mathbf{x}, t = 0), \quad p(\mathbf{x}, t = 0), \quad T(\mathbf{x}, t = 0) \quad \forall \mathbf{x} \in \mathcal{V}.$$

1.9. Ecriture algébrique conservative

Plus facile à manipuler sous forme algébrique avant les étapes de discrétisation :

1. en espace,
2. en temps.

$$\frac{\partial}{\partial t} \mathbf{U} + \frac{\partial}{\partial x} \mathbf{F}^x + \frac{\partial}{\partial y} \mathbf{F}^y + \frac{\partial}{\partial z} \mathbf{F}^z = \mathbf{H},$$

avec

$$\mathbf{U} = \begin{Bmatrix} \rho \\ \rho u \\ \rho v \\ \rho w \\ \rho E \end{Bmatrix}, \quad \mathbf{H} = \begin{Bmatrix} 0 \\ \rho f_{vx} \\ \rho f_{vy} \\ \rho f_{vz} \\ \rho \mathbf{f}_v \cdot \mathbf{V} \end{Bmatrix}, \quad \mathbf{F}^x = \begin{Bmatrix} \rho u \\ \rho u^2 + p + \tau_x \\ \rho uv + \tau_{xy} \\ \rho uw + \tau_{xz} \\ (\rho E + p + \tau_x)u + \tau_{xy}v + \tau_{xz}w - \kappa \frac{\partial T}{\partial x} \end{Bmatrix}$$
$$\mathbf{F}^y = \begin{Bmatrix} \rho v \\ \rho uv + \tau_{xy} \\ \rho v^2 + p + \tau_y \\ \rho vw + \tau_{yz} \\ (\rho E + p + \tau_y)v + \tau_{xy}u + \tau_{yz}w - \kappa \frac{\partial T}{\partial y} \end{Bmatrix}, \quad \mathbf{F}^z = \begin{Bmatrix} \rho w \\ \rho uw + \tau_{xz} \\ \rho vw + \tau_{yz} \\ \rho w^2 + p + \tau_z \\ (\rho E + p + \tau_z)w + \tau_{xz}u + \tau_{yz}v - \kappa \frac{\partial T}{\partial z} \end{Bmatrix}.$$

Section. 2

Boucle de modélisation numérique

2.1. Boucle de modélisation articulée autour de 4 modèles

Démarche de la **modélisation numérique** → construction et utilisation de **modèles approchés** du comportement de **systèmes physiques**, en utilisant **l'outil informatique**.

- ▶ Description en langage *ingénieur* du problème **physique** ;
- ▶ Traduction du problème d'ingénieur en écritures **mathématiques** ;
- ▶ Construction d'un modèle **numérique** (ou algébrique) (méthodes de discrétisation) ;
- ▶ Écriture/développement d'un **logiciel**.

2.1. Boucle de modélisation articulée autour de 4 modèles

Introduction d'erreurs lors du passage d'un modèle à l'autre :

- ▶ erreur sur le choix du modèle mathématique = erreur entre modèles réel et mathématique ;
- ▶ erreur de discrétisation = erreur entre modèles ... et ... ;
- ▶ erreur d'origine informatique = erreur entre modèles ... et ...

Proposition de définition d'un bon modélisateur ?

Expertise suffisante pour contrôler ces erreurs

→ s'assurer que la solution fournie par le logiciel est **'assez' proche du comportement réel** du système physique étudié (inconnu pas a priori).

🔄 Ne pas hésiter à *itérer* la boucle !

Description du modèle physique qui repose sur :

- ▶ la représentation de sa **géométrie**,
- ▶ la sélection des **variables inconnues** que l'on cherche à évaluer et la nature des variations **spatio-temporelles**,
- ▶ les **lois de la physique** qui régissent le comportement,
- ▶ les valeurs des **propriétés physiques** supposées connues,
- ▶ les **sollicitations, conditions aux limites, conditions initiales** ?

Description du modèle mathématique qui repose sur :

- ▶ **nature** du problème (stationnaire ou non...),
- ▶ **dimensions** retenues,
- ▶ **EDP**,
- ▶ lois de **conservations**,
- ▶ lois de **comportement**,
- ▶ **conditions aux limites** et **conditions initiales**,

Si nécessaire → écriture variationnelle (MEF).

2.4. Modèle numérique/algébrique/discret

Modèle mathématique → modèle numérique via des techniques de discrétisation :

1. en espace,
2. **puis** en temps (si requis).

Méthodes de discrétisation en espace :

- ▶ la méthode des **différences finies** (MDF),
- ▶ la méthode des **éléments finis** (MEF),
- ▶ la méthode des **volumes finis** (MVF),
- ▶ ...

→ écriture systématique vers système algébrique :

$$[M] \{\ddot{U}\} + [K]\{U\} = \{F\} : \text{dynamique}$$

$$[M] \{\dot{U}\} + [K]\{U\} = \{F\} : \text{thermique, CFD}$$

$$[K]\{U\} = \{F\} : \text{statique, stationnaire}$$

Matrices $[M]$, $[K]$ et vecteur $\{F\}$:

- ▶ constants (linéaires),
- ▶ ou dépendants de la solution $\{U\}$ (non linéaires).

Objectif : tendre vers la **solution exacte du problème mathématique** (!!)

Comment ? en ↘ **erreur de troncature** !

- ↗ la taille du maillage,
- ↗ le nombre de *degrés de liberté* (ddl),
- ↗ la taille du système à résoudre,
- ↗ ressources informatiques (CPU, mémoire, calcul distribué),
- ↗ temps de calcul (rôle des CRI).

Question :

Atteindre la **solution exacte du problème mathématique** et c'est tout ?

Section. 3

Principales méthodes numériques et rappels

3.1.Méthode des Différences Finies (MDF)/ Rappels

Logique de déroulement :

1. création d'un **maillage**,
2. associer un nœud à une **inconnue nodale** : $U(x_i) = U_i$ (en 1D),
3. dérivées (1er ordre, 2nd ordre ...) continues en temps et en espace \rightarrow **formes discrètes** (D.L.) :

$$\frac{dU}{dx} = \frac{U_{i+1} - U_{i-1}}{2\Delta x} + \Delta x^2(\dots) \quad \text{centrée d'ordre 2}$$

$$\frac{dU}{dx} = \frac{U_{i+1} - U_i}{\Delta x} + \Delta x(\dots) \quad \text{décentrée DROITE d'ordre 1}$$

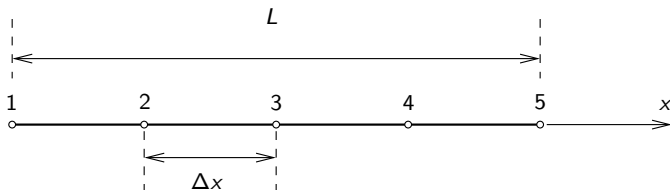
$$\frac{dU}{dx} = \frac{U_i - U_{i-1}}{\Delta x} + \Delta x(\dots) \quad \text{décentrée GAUCHE d'ordre 1}$$

4. **construction** du système (ici stationnaire) :

$$[K]\{U\} = \{F\}.$$

5. **Résolution**,
6. **Affichage et post-traitement**.

$$-k \frac{d^2 T(x)}{dx^2} - f_v = 0 \quad \forall x \in [0, L] \quad \text{avec} \quad T(0) = T_o \quad \text{et} \quad -k \frac{dT}{dx}(L) = \phi_L.$$



Forme discrète centrée d'ordre 2 :

$$-k \frac{T_{i-1} - 2T_i + T_{i+1}}{\Delta x^2} - f_v \approx 0, \quad \forall i = 1, 2, 3, 4, 5$$

Conditions aux limites :

- ▶ En $i = 1$: $T_1 = T_o$
- ▶ En $i = 5$: $-k(T_6 - T_4) = 2\Delta x \phi_L$. Recours à un nœud fictif numéroté 6 !

Construction du système algébrique :

$$\begin{bmatrix} 1 & 0 & 0 & 0 & 0 \\ -1 & 2 & -1 & 0 & 0 \\ 0 & -1 & 2 & -1 & 0 \\ 0 & 0 & -1 & 2 & -1 \\ 0 & 0 & 0 & -2 & 2 \end{bmatrix} \begin{Bmatrix} T_1 \\ T_2 \\ T_3 \\ T_4 \\ T_5 \end{Bmatrix} = \begin{Bmatrix} T_o \\ f_v \Delta x^2 / k \\ f_v \Delta x^2 / k \\ f_v \Delta x^2 / k \\ f_v \Delta x^2 / k - 2\Delta x \phi_L / k \end{Bmatrix}$$

Remarque : la ligne 5 inclut la condition à la limite.

Approche enrichie :

1. ré-écriture du modèle mathématique sous sa **forme variationnelle ou intégrale**,
2. maillage **non structuré** (table des connectivités),
3. **découpage** :

$$\iint_A \dots dA + \oint_S \dots dS = \sum_{e=1}^N \iint_{A_e} \dots dA + \sum_{e=1}^n \int_{S_e} \dots dS$$

4. **approximation** des variables sur une cellule élémentaire :

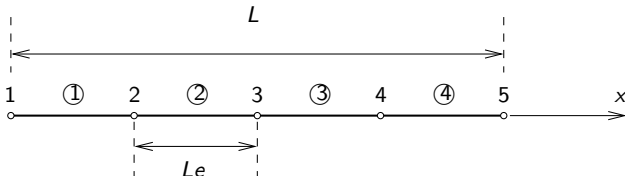
$$U(x) = \sum N_i(x) U_i \quad \text{avec} \quad N_i : \text{fonctions d'approximations nodales}$$

5. \rightarrow **matrices et vecteurs élémentaires** : $[K_e], \{F_e\} \dots$
6. **assemblage**,
7. prise en compte des condition aux limites de type Dirichlet,
8. résolution et post-traitement.

Forme forte

$$-k \frac{d^2 T(x)}{dx^2} - f_v = 0 \quad \forall x \in [0, L] \quad \text{avec} \quad T(0) = T_o \quad \text{et} \quad -k \frac{dT}{dx}(L) = \phi_L.$$

Maillage (coordonnées et connectivités)

→ **kconec**, **vcorg**

Forme faible

→ **deux avantages**

$$\mathcal{W} = \int_0^L \frac{d\varphi}{dx} k \frac{dT}{dx} dx - \left[\varphi k \frac{dT}{dx} \right]_0^L - \int_0^L \varphi f_v dx = 0 \quad \forall \varphi(x)$$

Discrétisation de la forme intégrale élémentaire

$$\mathcal{W} = \sum_{e=1}^{Ne} \mathcal{W}_e + \mathcal{W}_{CL} \quad \text{avec} \quad \mathcal{W}_e = \int_0^{Le} \frac{d\varphi}{ds} k \frac{dT}{ds} ds - \int_0^L \varphi f_v ds$$

$$\mathcal{W}_e = \langle \varphi_e \rangle ([Ke] \{Te\} - \{Fe\}) \quad \text{avec} \quad [Ke] = \frac{k}{Le} \begin{bmatrix} 1 & -1 \\ -1 & 1 \end{bmatrix} \quad \text{et} \quad \{Fe\} = \frac{f_v Le}{2} \begin{Bmatrix} 1 \\ 1 \end{Bmatrix}.$$

Assemblage

$$\begin{bmatrix} 1 & 0 & 0 & 0 & 0 \\ -1 & 2 & -1 & 0 & 0 \\ 0 & -1 & 2 & -1 & 0 \\ 0 & 0 & -1 & 2 & -1 \\ 0 & 0 & 0 & -1 & 1 \end{bmatrix} \begin{Bmatrix} T_1 \\ T_2 \\ T_3 \\ T_4 \\ T_5 \end{Bmatrix} = \begin{Bmatrix} T_o \\ f_v Le^2/k \\ f_v Le^2/k \\ f_v Le^2/k \\ f_v Le^2/k/2 - \phi_L Le/k \end{Bmatrix}$$